

А. А. КУЗНЕЦОВ, канд. техн. наук

ЭНЕРГЕТИЧЕСКИЙ ВЫИГРЫШ АЛГЕБРОГЕОМЕТРИЧЕСКОГО КОДИРОВАНИЯ

Одним из эффективных средств защиты информации от ошибок, возникающих при передаче по сетям связи, является помехоустойчивое кодирование. Основными требованиями к помехоустойчивому кодированию являются высокая обнаруживающая и исправляющая способность кода, низкая вносимая избыточность, высокое быстродействие и низкая сложность реализации процедур кодирования-декодирования. Недвоичные алгебраические блочные коды, построенные по алгебраическим кривым (алгеброгеометрические коды), обладают высокой исправляющей способностью при небольшой доле вносимой избыточности [1].

Основная задача помехоустойчивого кодирования информации состоит в повышении энергетической эффективности телекоммуникационных систем. Под энергетической эффективностью систем связи понимают минимально необходимое соотношение сигнал/шум, которое требуется для обеспечения заданной достоверности приема цифровых сообщений. В качестве показателя достоверности используют вероятность ошибочного приема знаков (показатель потери достоверности), которая определяется отношением количества принятых знаков с ошибками к общему количеству переданных знаков за достаточно большой промежуток времени. Снижение минимально необходимого соотношения сигнал/шум при обеспечении заданной вероятности ошибочного приема знаков, которое позволяет получить применяемая система помехоустойчивого кодирования информации, называют энергетическим выигрышем от кодирования.

В статье проводится оценка энергетического выигрыша алгеброгеометрического кодирования информации, сравнение потенциальной помехоустойчивости M -ичных ортогональных сигналов и той помехоустойчивости, которая достигается при использовании алгеброгеометрических кодов.

1 Оценка потенциальной помехоустойчивости M -ичных ортогональных сигналов

Рассмотрим вариант некодированной передачи сообщений M -ичных символов и оценим помехоустойчивость когерентного приема ортогональных сигналов.

Вероятность ошибочного приема символа при когерентном приеме ортогональных сигналов определяется выражением [2-3]:

$$P_c = 1 - \frac{1}{\sqrt{2\pi}} \int_{-\infty}^{\infty} e^{-\frac{u^2}{2}} \left[\frac{1}{\sqrt{2\pi}} \int_{-\infty}^{u+\sqrt{2\gamma}} e^{-\frac{z^2}{2}} dz \right]^{M-1} du,$$

где γ – отношение сигнал/шум для M -ичного символа, $M = 2^m$.

Нормированное отношение сигнал/шум на двоичную единицу запишется в виде $\gamma_2 = \gamma/m$.

На рис. 1а представлены зависимости вероятности ошибочного приема M -ичных символов для случаев $M=2\dots 64$. Средняя вероятность ошибочного приема отдельного бита определяется выражением [3]:

$$P_b = \frac{2^{m-1}}{2^m - 1} P_c.$$

На рис. 1б представлены зависимости средней вероятности ошибочного приема отдельных бит M -ичного символа для случаев $M=2\dots 64$.

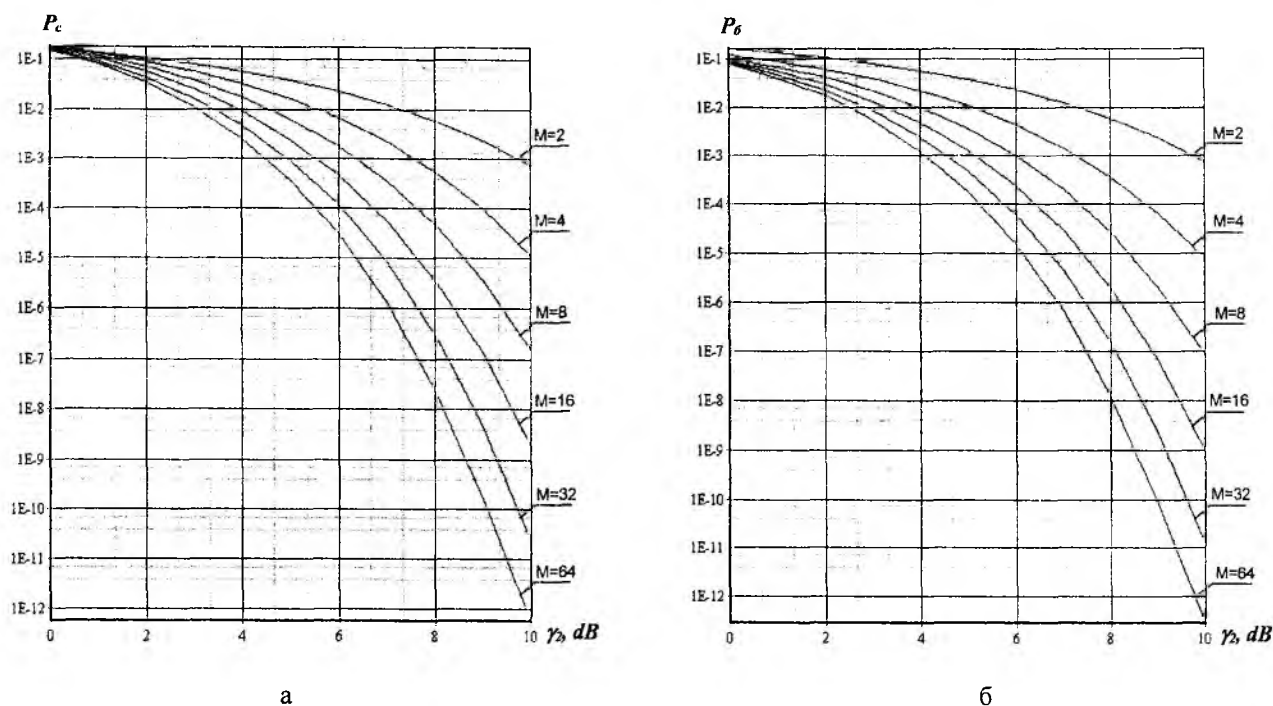


Рис. 1

Зависимости, представленные на рис. 1, свидетельствуют о том, что передача M -ичных ортогональных сигналов позволяет получить значительный выигрыш помехоустойчивости при фиксированном соотношении сигнал/шум или существенный энергетический выигрыш при фиксированной вероятности ошибки символа. При увеличении мощности ансамбля сигналов этот выигрыш возрастает. Целью данной работы является оценка энергетического выигрыша алгеброгеометрического кодирования информации при передаче M -ичных ортогональных сигналов.

2 Алгеброгеометрическое кодирование информации

Зафиксируем конечное поле $GF(q)$. Пусть X – гладкая проективная алгебраическая кривая в проективном пространстве P^n , $g = g(X)$ – род кривой, $X(GF(q))$ – множество ее точек над конечным полем, $N = |X(GF(q))|$ – их число. Пусть C – класс дивизоров на X степени α . Тогда C задает отображение $\varphi: X \rightarrow P^m$, набор генераторных функций $y_i = \varphi(x_i)$ задает алгеброгеометрический код длины $n \leq N$. Кодовые характеристики (n, k, d) связаны соотношением $k + d \geq n - g + 1$.

Если $2g - 2 < \alpha \leq n$, код связан характеристиками $(n, \alpha - g + 1, d)$, $d \geq n - \alpha$. Дуальный к нему код также является алгеброгеометрическим с характеристиками $(n, n - \alpha + g - 1, d_\perp)$, $d_\perp \geq \alpha - 2g + 2$ [4].

Рассмотрим многообразия, соответствующие проективным гиперповерхностям, заданным в P^n уравнениями $f = 0$, где f – однородные одночлены степени d в P^n . Тогда степень α класса дивизоров C на X определим как $\alpha = (X, f) = \deg X \cdot \deg f$.

Пример. Кривая X , заданная однородным многочленом $xz^2 + y^2z + x^2y + x^3 = 0$ над $GF(16)$ дает $N = |X(GF(16))| = 25$ точек, $\deg X = 3$, $g(X) = 1$. Точки кривой приведены в табл. 1.

Таблица 1

	1	2	3	4	5	6	7	8	9	10	11	12	13	14	15
<i>x</i>	0	1	0	1	1	13	10	2	9	13	4	2	3	10	11
<i>y</i>	1	1	0	0	1	2	3	4	4	4	5	7	7	7	8
<i>z</i>	0	0	1	1	1	1	1	1	1	1	1	1	1	1	1

	16	17	18	19	20	21	22	23	24	25
<i>x</i>	7	5	7	9	6	3	4	5	11	6
<i>y</i>	9	10	10	10	12	13	13	13	14	15
<i>z</i>	1	1	1	1	1	1	1	1	1	1

Пусть $\alpha > g - 1$, отображение $\varphi : X \rightarrow P^{k-1}$ задает порождающую матрицу G алгебро-геометрического кода с конструктивными характеристиками ($n \leq N, k \geq \alpha - g + 1, d \geq n - \alpha$), число генераторных функций $y_i = f_i(x, y, z)$ соответствует числу информационных кодовых символов k . Конструктивные характеристики кодов для случаев $\deg f = 1..7$ сведены в табл. 2.

Таблица 2

$\deg f$	α	Через $G : (n \leq N, k \geq \alpha - g + 1, d \geq n - \alpha)$				
1	3	(25, 3, 22)	(24, 3, 21)	(22, 3, 19)	(20, 3, 17)	(18, 3, 15)
2	6	(25, 6, 19)	(24, 6, 18)	(22, 6, 16)	(20, 6, 14)	(18, 6, 12)
3	9	(25, 9, 16)	(24, 9, 15)	(22, 9, 13)	(20, 9, 11)	(18, 9, 9)
4	12	(25, 12, 13)	(24, 12, 14)	(22, 12, 10)	(20, 12, 8)	(18, 12, 6)
5	15	(25, 15, 10)	(24, 15, 9)	(22, 15, 7)	(20, 15, 5)	(18, 15, 3)
6	18	(25, 18, 7)	(24, 18, 6)	(22, 18, 4)	–	–
7	21	(25, 21, 4)	(24, 21, 3)	–	–	–

Пусть $\alpha > 2g - 2$, отображение $\varphi : X \rightarrow P^{r-1}$ задает проверочную матрицу H алгебро-геометрического кода с конструктивными характеристиками ($n \leq N, k \geq n - \alpha + g - 1, d \geq \alpha - 2g + 2$) число генераторных функций $y_i = f_i(x, y, z)$ соответствует числу проверочных символов кода $r = n - k$. Конструктивные характеристики кодов для случаев $\deg f = 1..7$ сведены в табл. 3.

Таблица 3

$\deg f$	α	Через $H : (n \leq N, k \geq n - \alpha + g - 1, d \geq \alpha - 2g + 2)$			
1	3	(25, 22, 3)	(24, 21, 3)	(21, 18, 3)	(18, 15, 3)
2	6	(25, 19, 6)	(24, 18, 6)	(21, 15, 6)	(22, 12, 6)
3	9	(25, 16, 9)	(24, 15, 9)	(21, 12, 9)	(22, 9, 9)
4	12	(25, 13, 12)	(24, 12, 12)	(21, 9, 12)	(22, 6, 12)
5	15	(25, 10, 15)	(24, 9, 15)	(21, 6, 15)	(22, 3, 15)
6	18	(25, 7, 18)	(24, 6, 18)	(21, 3, 18)	–
7	21	(25, 4, 21)	(24, 3, 21)	–	–

В телекоммуникационных системах специального назначения циркулируют короткие формализованные кодограммы (10-15 четырехбитных символа). Для обеспечения высокой помехоустойчивости передаваемых сообщений предлагается применение помехоустойчивых кодов, выделенных в таблицах 2-3 курсивом.

Пример проверочной матрицы H в систематическом виде $H = [P \ I]$ кода (24, 15, 9) для случая $\deg F = 3, \alpha = \deg F \cdot \deg f = 9$ над полем $GF(16)$ приведен в табл. 4 (единичная матрица I опущена).

	1	2	3	4	5	6	7	8	9	10	11	12	13	14	15
1	5	6	13	6	13	8	6	10	5	12	1	10	1	7	12
2	5	10	0	12	9	11	3	2	6	13	3	10	10	13	15
3	6	14	1	0	11	8	5	6	14	7	10	3	13	8	1
4	10	5	14	13	6	12	5	15	8	7	0	10	14	5	4
5	1	13	7	4	15	7	8	2	6	3	13	11	0	2	8
6	6	3	15	11	7	4	8	4	15	15	8	13	1	2	9
7	15	10	9	6	14	1	6	6	0	11	7	1	13	6	13
8	11	10	1	5	3	0	2	5	8	2	5	10	7	4	5
9	9	15	5	7	6	14	11	15	6	4	9	7	10	3	14

Проведем оценку энергетического выигрыша предлагаемых кодовых конструкций.

3 Оценка энергетического выигрыша алгеброгеометрических кодов при когерентном приеме 16-х ортогональных сигналов

Рассмотрим код (n, k, d) . Полагаем, что ошибки в последовательно передаваемых кодовых символах происходят независимо с вероятностью P_o . Тогда вероятность ошибки кратности i на длине блока n будет

$$P_i = C_n^i P_o^i (1 - P_o)^{n-i}.$$

Если декодер исправляет $t = (d-1)/2$ ошибок, то вероятность ошибочного декодирования блока запишется в виде выражения

$$P_{\text{бл}} = \sum_{i=t+1}^n P_i = \sum_{i=t+1}^n C_n^i P_o^i (1 - P_o)^{n-i}.$$

Если принять предположение о случайном возникновении $2t+1$ и более ошибок в результате ошибочного декодирования кодового слова, то математическое ожидание ошибочных информационных символов на выходе декодера определяется выражением [5]

$$m_{\text{ош}} = \sum_{i=t+1}^{n-i} \frac{(i+t)k}{n} P_i + k \sum_{i=n-t+1}^n P_i,$$

а вероятность ошибочного декодирования информационного символа –

$$P_{\text{ош}} = m_{\text{ош}} P_{\text{бл}}.$$

Использование помехоустойчивого кодирования сопряжено с внесением избыточности в передаваемые данные. Если зафиксировать энергию сообщения, передаваемого в канал связи, то энергия, приходящаяся на один символ, уменьшится пропорционально внесенной избыточности. В выражении для расчета вероятности ошибки символа отношение сигнал/шум γ уменьшится в $R = k/n$ раз.

Зависимости вероятностей ошибок на выходе декодера приведены на рис. 2:

- на рис. 2а представлены зависимости вероятности ошибочного приема 16-ичных символов от нормированного энергетического отношения сигнал/шум, приходящегося на один бит;
- на рис. 2б представлены зависимости средней вероятности ошибочного приема отдельных бит 16-ичных символов от нормированного энергетического отношения сигнал/шум, приходящегося на один бит

Передача символов осуществляется 16-ичными ортогональными сигналами. Зависимость, отмеченная «М=16», соответствует некодированной передаче. На рис.2 приведена также зависимость вероятности ошибки символа при использовании кода Рида-Соломона.

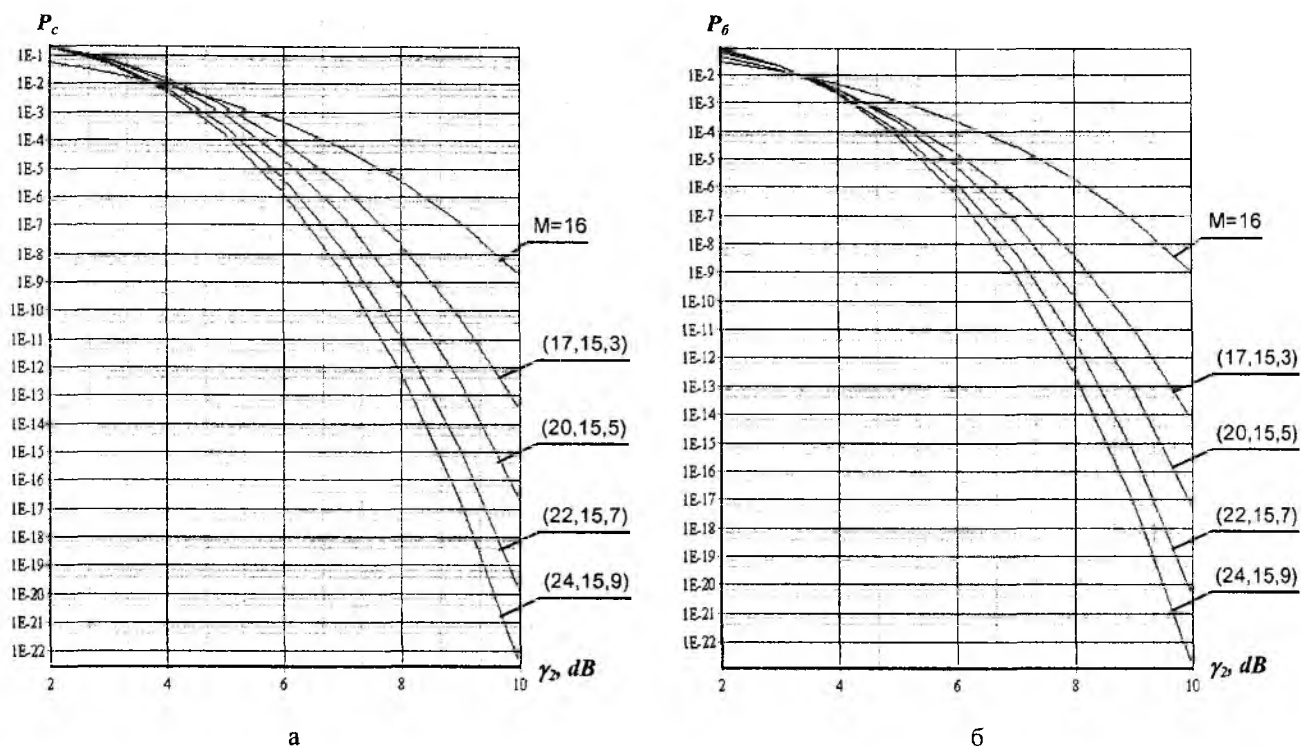


Рис. 2

Как следует из представленных на рис. 2 зависимостей, применение алгеброгеометрических кодов приводит к значительному энергетическому выигрышу. Так, для вероятности ошибочного приема символа 10^{-6} применение кода (24, 15, 9) позволяет получить энергетический выигрыш $\approx 2,5\text{dB}$ по сравнению с некодированной передачей и $\approx 0,8\text{dB}$ по сравнению с использованием расширенного кода Рида-Соломона (17, 15, 3). При значении нормированного энергетического отношения сигнал/шум 8dB удастся понизить вероятность ошибки более чем на 6 порядков по сравнению с некодированной передачей и на 4 порядка по сравнению с использованием кода Рида-Соломона.

Список литературы: 1. Цфасман М.А. Коды Гоппы, лежащие выше границы Варшамова – Гилберта. // Проблемы передачи информации. 1982. № 3. С. 3 – 6. 2. С. Стейн, Дж. Джонс. Принципы современной теории связи и их применение к передаче дискретных сообщений. М.: Связь, 1971. 376 с. 3. В.И. Долгов. Основы статистической теории приема дискретных сигналов. Харьков: ХВВКИУРВ, 1989. 448 с. 4. Влэдуц С.Г., Манин Ю.И. Линейные коды и модулярные кривые // Современные проблемы математики. М.: ВИНТИ, 1984. Т. 25. С. 209 – 257. 5. Т. Касами, Н. Токура, Е. Ивадари, Я. Инагаки. Теория кодирования. М.: Мир, 1978. 576 с.

Харьковский военный университет

Харьковский национальный

университет радиоэлектроники

Поступила в редколлегию 20.11.2002